

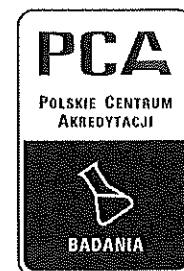


Laboratorium EMVO Sp. J. Urbański, Pawelak

ul. Jasna 1
00-013 Warszawa

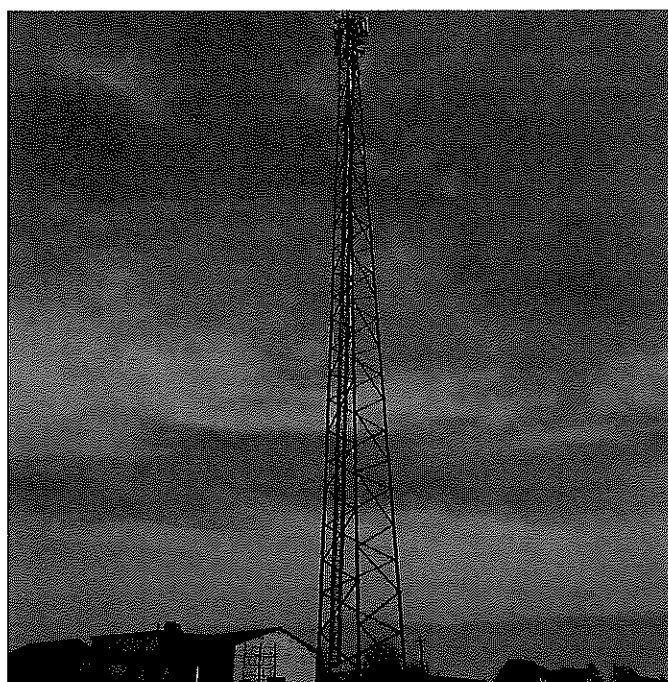
tel. +48 22 780 29 64

e-mail: laboratorium@emvo.pl



AB 1630

Sprawozdanie z pomiarów pól elektromagnetycznych - środowisko nr 13/04/OŚ/2023-P4



Nr i nazwa stacji	WEJ0601A	
Adres	Szemud, dz. nr 862/22, pow. wejherowski, woj. pomorskie	
Opracowanie		Specjalista ds. pomiarów
Autoryzacja		Kierownik Laboratorium
Podpis		
Data	2023-04-13	

„Bez pisemnej zgody Laboratorium niniejsze sprawozdanie nie może być powielane inaczej, jak tylko w całości. Ponadto wyniki dotyczą tylko badanych obiektów przywołanych w niniejszym sprawozdaniu z badań”

Spis treści

1. Informacje ogólne.	3
2. Podstawa prawna.	3
3. Opis pomiarów	3
4. Zróżnicowanie dopuszczalne poziomy pól elektromagnetycznych.	4
5. Charakterystyka źródeł PEM.	5
6. Wyniki pomiarów.	6
7. Stwierdzenie zgodności	7
8. Oświadczenie.	8
9. Spis załączników.	8

1. Informacje ogólne.

Zleceniodawca	P4 Sp. z o.o., ul. Wynałazek 1, 02-677 Warszawa osoba udzielająca informacji -
Istotne informacje dostarczone przez klienta	komplet informacji niezbędnych do wykonania pomiarów i opracowania sprawozdania
Dane otrzymane od klienta mogące mieć wpływ na ważność wyników	dane anten sektorowych, dane anten radioliniowych, parametry pracy instalacji, poprawka pomiarowa
Prowadzący instalację	P4 sp. z o.o., ul. Wynałazek 1, 02-677 Warszawa
Lokalizacja obiektu	Szemud, dz. nr 862/22, pow. wejherowski, woj. pomorskie
Miejsce instalacji anten	wieża kratowa
Miejsce instalacji urządzeń	outdoor
Osoby wykonujące pomiar	
Data wykonania pomiaru	2023-04-13
Godzina rozpoczęcia pomiaru	11.30
Godzina zakończenia pomiaru	13.30
Temperatura na początku pomiaru [°C]	18
Temperatura na koniec pomiaru [°C]	18
Warunki atmosferyczne	brak opadów
Wilgotność na początku pomiaru [%]	50
Wilgotność na koniec pomiaru [%]	50
Inne źródła pól elektromagnetycznych oznaczone na załączniku graficznym	nie występują
Parametry pracy instalacji	tryb eksploatacyjny

2. Podstawa prawna.

2.1 Normy i rozporządzenia:

- Rozporządzeniem Ministra Klimatu z dnia 17 lutego 2020 r. w sprawie sposobów sprawdzania dotrzymania dopuszczalnych poziomów pól elektromagnetycznych w środowisku (Dz.U. 2020 poz. 258)
- Rozporządzenie Ministra Zdrowia z dnia 17 grudnia 2019 r. w sprawie dopuszczalnych poziomów pól elektromagnetycznych w środowisku (Dz.U. 2019 poz. 2448)
- Obwieszczenie Marszałka Sejmu Rzeczypospolitej Polskiej z dnia 29 września 2021 r. w sprawie ogłoszenia jednolitego tekstu ustawy - Prawo ochrony środowiska (Dz.U. 2021 poz. 1973)
- Rozporządzenie Ministra Klimatu i Środowiska z dnia 6 maja 2022 r. zmieniające rozporządzenie w sprawie sposobów sprawdzania dotrzymywania dopuszczalnych poziomów pól elektromagnetycznych w środowisku (Dz.U. 2022 poz. 1121).

3. Opis pomiarów

Metodologia pomiarowa Pomiary w oparciu o Rozporządzeniem Ministra Klimatu z dnia 17 lutego 2020 r. w sprawie sposobów sprawdzania dotrzymania dopuszczalnych poziomów pól elektromagnetycznych w środowisku (Dz.U. 2020 poz. 258) oraz Rozporządzenie Ministra Klimatu i Środowiska z dnia 6 maja 2022 r. zmieniające rozporządzenie w sprawie sposobów sprawdzania dotrzymywania dopuszczalnych poziomów pól elektromagnetycznych w środowisku (Dz.U. 2022 poz. 1121).

Cel badań Określenie wartości natężenia pola elektrycznego w miejscach dostępnych dla ludności.

„Bez pisemnej zgody Laboratorium niniejsze sprawozdanie nie może być powielane inaczej, jak tylko w całości. Ponadto wyniki dotyczą tylko badanych obiektów przywołanych w niniejszym sprawozdaniu z badań”

Opis zestawu pomiarowego

Miernik Narda NBM 550, Sonda EF-6092, o zakresie pomiarowym 0,7 V/m –300V/m pracująca w paśmie 0,1 – 90 GHz, świadectwo wydane przez Laboratorium Wzorców i Metrologii Pola Elektromagnetycznego, Instytut Telekomunikacji, Teleinformatyki i Akustyki Politechniki Wrocławskiej. Świadectwo ważne do 10.06.2024 r.

Miernik Narda NBM 550, Sonda EF-6092 pracująca w zakresie temperatury -10°C - +50°C oraz wilgotności 5% - 95%

Niepewność rozszerzona wynosi 58,8% przy poziomie ufności 95% z uwzględnieniem współczynnika rozszerzenia k=2.

Wyposażenie pomocnicze

Termohigrometr Bestone, Nr. inwentarzowy 03/WL, nr identyfikacyjny 1222436, typ: GM1362-EN-00, świadectwo wzorcowania z dn. 22.12.2015 r. wydane przez Laboratorium Pomiarowe „MUTECH”.

Przymiar wstępowy STABILA, Nr. inwentarzowy 06/WL, nr identyfikacyjny 06WL, świadectwo wzorcowania z dn. 22.09.2021 r. wydane przez Zespół Laboratoriów wzorcujących Okręgowego Urzędu Miar w Gdańsku.

GPS Garmin 64s okresowo sprawdzany w punktach osnowy geodezyjnej klasy 3 na podstawie licencji punktu, zgodnie z procedurą sprawdzeń okresowych IS/PO-16-11/03.

Pomiary zostały wykonane

1. na głównych i pomocniczych kierunkach pomiarowych, na kierunkach zbliżonych do azymutów anten oraz w dodatkowych pionach pomiarowych zgodnie z wymaganiami pkt 12, 13, 14 i 19 Rozporządzenia Ministra Klimatu z dnia 17 lutego 2020 r. (Dz. U. 2020, poz. 258) oraz Rozporządzenia Ministra Klimatu i Środowiska z dnia 6 maja 2022 r. zmieniającego rozporządzenie w sprawie sposobów sprawdzania dotrzymywania dopuszczalnych poziomów pól elektromagnetycznych w środowisku (Dz.U. 2022 poz. 1121).
2. na obszarze pomiarowym, dla którego, na podstawie uprzednio przeprowadzonych obliczeń stwierdzono w miejscach dostępnych dla ludności występowanie pól elektromagnetycznych o najwyższym poziomie, które pochodzą z badanej instalacji zgodnie z wymaganiami pkt 5 ppkt 2 oraz pkt 13 ppkt 1 Rozporządzenia Ministra Klimatu z dnia 17 lutego 2020 r. w sprawie sposobów sprawdzania dotrzymywania dopuszczalnych poziomów pól elektromagnetycznych w środowisku (Dz. U. 2020, poz. 258) oraz Rozporządzenia Ministra Klimatu i Środowiska z dnia 6 maja 2022 r. zmieniającego rozporządzenie w sprawie sposobów sprawdzania dotrzymywania dopuszczalnych poziomów pól elektromagnetycznych w środowisku (Dz.U. 2022 poz. 1121). Wyniki obliczeń nie uwzględniały parametrów pracy instalacji innych operatorów występujących na obiekcie bądź w obszarze pomiarowym.
3. w miejscach dostępnych dla ludności.
4. miejsca niedostępne podczas wykonywania pomiarów wskazane zostały w pkt 6 (tabeli wyniki pomiarów).

Szczególne warunki podczas wykonywania pomiarów

Pomiary wykonane zostały podczas obowiązywania w kraju stanu zagrożenia epidemicznego, zgodnie z art. 122a ust. 1b Ustawy z dnia 27 kwietnia 2001 r. – Prawo ochrony środowiska (Dz. U. z 2019 r. poz. 1396, z późn. zm.9))

Warunki pracy urządzeń nadawczych

Tryb pracy eksploatacyjny.

4. Zróżnicowanie dopuszczalne poziomy pól elektromagnetycznych.

Zakresy znajdują się w Dzienniku Ustaw z dnia 17 grudnia 2019 r. przedstawione są w tabeli nr 2 (Dz. U. z 2019r. poz. 2448).

Zakres częstotliwości pola elektromagnetycznego	Parametr fizyczny		
	Składowa elektryczna E (V/m)	Składowa magnetyczna H (A/m)	Gęstość mocy S (W/m ²)
od 400 MHz do 2000 MHz	$1,375 \times f^{0,5}$	$0,0037 \times f^{0,5}$	f / 200
od 2 GHz do 300 GHz	61	0,16	10

„Bez pisemnej zgody Laboratorium niniejsze sprawozdanie nie może być powielane inaczej, jak tylko w całości. Ponadto wyniki dotyczą tylko badanych obiektów przywołanych w niniejszym sprawozdaniu z badań”

5. Charakterystyka źródeł PEM.

Zgodnie z informacją otrzymaną od klienta pomiary zostały wykonane przy ustawieniach pochylenia anten zgodnych z pkt. 13, ppkt 2 załącznika do rozporządzenia Ministra Klimatu z dnia 17 lutego 2020 roku.

Tabela 1. Anteny sektorowe - dane otrzymane od klienta

Charakterystyka promieniowania		kierunkowa									
Rzeczywisty czas pracy [h/dobę]		24									
Rodzaj wytwarzanego pola		stacjonarne									
Lp.	Wyszczególnienie	sektor 1					sektor 2				
I	Nadajnik stacji bazowej:										
1	Typ / Producent	DBS / SRAN Huawei									
2	Częstotliwość (pasmo) MHz	2600	2100	1800	900	800	2600	2100	1800	900	800
3	Maksymalna moc nadawana na sektor [dBm]	52,04	52,04	52,04	46,02	49,03	52,04	52,04	52,04	46,02	49,03
II	Obciążenie:										
1	Typ anteny	Huawei ADU4521R0	Huawei ATR4518R6			Kathrein 80010304	Huawei ADU4521R0	Huawei ATR4518R6			Kathrein 80010304
2	Producent anteny	Huawei	Huawei			Kathrein	Huawei	Huawei			Kathrein
3	Ilość anten	1	1			1	1	1			1
4	Azymut	100					230				
5	Zakres kątów pochylenia anten [°]	0,00-6,00	0,00-10,00	0,00-10,00	0,00-10,00	0,00-10,00	0,00-6,00	0,00-10,00	0,00-10,00	0,00-10,00	0,00-10,00
6	Wysokość zainst. n.p.t. [m]	53,00					53,00				
7	EIRP [W]	19680	18661			2773	19680	18661			2773

Charakterystyka promieniowania		kierunkowa									
Rzeczywisty czas pracy [h/dobę]		24									
Rodzaj wytwarzanego pola		stacjonarne									
Lp.	Wyszczególnienie	sektor 3									
I	Nadajnik stacji bazowej:										
1	Typ / Producent										
2	Częstotliwość (pasmo) MHz	2600	2100	1800	900	800					
3	Maksymalna moc nadawana na sektor [dBm]	52,04	52,04	52,04	46,02	49,03					
II	Obciążenie:										
1	Typ anteny	Huawei ADU4521R0	Huawei ATR4518R6			Kathrein 80010304					
2	Producent anteny	Huawei	Huawei			Kathrein					
3	Ilość anten	1	1			1					
4	Azymut	350									
5	Zakres kątów pochylenia anten [°]	0,00-6,00	0,00-10,00	0,00-10,00	0,00-10,00	0,00-10,00					
6	Wysokość zainst. n.p.t. [m]	53,00									
7	EIRP [W]	19680	18661			2773					

Tabela 2. Anteny radioliniowe - dane otrzymane od klienta

Charakterystyka promieniowania				kierunkowa			
Rzeczywisty czas pracy [h/dobę]				24			
Rodzaj wytwarzanego pola				stacjonarne			
Lp.	Linia radiowa			Antena			
	typ/producent	częstotliwość pracy [GHz]	moc wyjściowa [dBm]	typ/producent	średnica anteny [m]	azymut [°]	wysokość zainstalowania n.p.t. [m] (środek elektryczny anteny)
1	OPTIX RTN/HUAWEI	80/23	18/25	A23S80S06/Huawei	0,6	131	48,00
2	OPTIX RTN/HUAWEI	80/23	18/25	A23S80S06/Huawei	0,6	237	50,50
3	OPTIX RTN/HUAWEI	80/23	18/25	A23S80S06/Huawei	0,6	312	50,20

6. Wyniki pomiarów.

Wyniki pomiarów pól elektromagnetycznych dla celów ochrony środowiska przedstawia poniższa tabela. Piony pomiarowe zostały przedstawione w zał. 2.

Nr PP	Pole-E [V/m]	Pole-E+U [V/m]	Pole-H [A/m]	Pole-H+U [A/m]	Wysokość pomiaru [m]	Współrzędne PP x, y	Opis PP	WM _E	WM _H
1	0,7*	1,27	0,002	0,003	0,3 - 2,0	54°28'55.58" N 18°12'55.11" E	otoczenie stacji bazowej - 100 m wzdłuż gł. osi promieniowania - GKP	0,046	0,046
2	0,7*	1,27	0,002	0,003	0,3 - 2,0	54°28'55.02" N 18°13'0.58" E	otoczenie stacji bazowej - 200 m wzdłuż gł. osi promieniowania - GKP	0,046	0,046
3	0,7*	1,27	0,002	0,003	0,3 - 2,0	54°28'54.45" N 18°13'6.05" E	otoczenie stacji bazowej - 300 m wzdłuż gł. osi promieniowania - GKP	0,046	0,046
4	1,1	1,75	0,003	0,005	0,3 - 2,0	54°28'53.89" N 18°13'11.52" E	otoczenie stacji bazowej - 400 m wzdłuż gł. osi promieniowania - GKP	0,064	0,063
5	1,2	1,91	0,003	0,005	0,3 - 2,0	54°28'53.16" N 18°13'18.63" E	otoczenie stacji bazowej - 530 m wzdłuż gł. osi promieniowania - GKP	0,069	0,069
6	0,7*	1,27	0,002	0,003	0,3 - 2,0	54°28'54.06" N 18°12'45.39" E	otoczenie stacji bazowej - 100 m wzdłuż gł. osi promieniowania - GKP	0,046	0,046
7	0,7*	1,27	0,002	0,003	0,3 - 2,0	54°28'51.98" N 18°12'41.13" E	otoczenie stacji bazowej - 200 m wzdłuż gł. osi promieniowania - GKP	0,046	0,046
8	0,7*	1,27	0,002	0,003	0,3 - 2,0	54°28'49.9" N 18°12'36.88" E	otoczenie stacji bazowej - 300 m wzdłuż gł. osi promieniowania - GKP	0,046	0,046
9	1,1	1,75	0,003	0,005	0,3 - 2,0	54°28'47.82" N 18°12'32.62" E	otoczenie stacji bazowej - 400 m wzdłuż gł. osi promieniowania - GKP	0,064	0,063
10	1,2	1,91	0,003	0,005	0,3 - 2,0	54°28'45.12" N 18°12'27.09" E	otoczenie stacji bazowej - 530 m wzdłuż gł. osi promieniowania - GKP	0,069	0,069
11	0,7*	1,27	0,002	0,003	0,3 - 2,0	54°28'59.32" N 18°12'48.68" E	otoczenie stacji bazowej - 100 m wzdłuż gł. osi promieniowania - GKP	0,046	0,046
12	0,7*	1,27	0,002	0,003	0,3 - 2,0	54°29'2.51" N 18°12'47.71" E	otoczenie stacji bazowej - 200 m wzdłuż gł. osi promieniowania - GKP	0,046	0,046
13	0,8	1,27	0,002	0,003	0,3 - 2,0	54°29'5.69" N 18°12'46.75" E	otoczenie stacji bazowej - 300 m wzdłuż gł. osi promieniowania - GKP	0,046	0,046
14	1,0	1,59	0,003	0,004	0,3 - 2,0	54°29'8.88" N 18°12'45.78" E	otoczenie stacji bazowej - 400 m wzdłuż gł. osi promieniowania - GKP	0,058	0,058
15	1,2	1,91	0,003	0,005	0,3 - 2,0	54°29'13.02" N 18°12'44.53" E	otoczenie stacji bazowej - 530 m wzdłuż gł. osi promieniowania - GKP	0,069	0,069
16	1,1	1,75	0,003	0,005	0,3 - 2,0	54°28'55.08" N 18°12'51.74" E	otoczenie stacji bazowej - 50 m wzdłuż gł. osi promieniowania - GKP	0,064	0,063
17	0,7*	1,27	0,002	0,003	0,3 - 2,0	54°28'54.02" N 18°12'53.83" E	otoczenie stacji bazowej - 100 m wzdłuż gł. osi promieniowania - GKP	0,046	0,046
18	1,0	1,59	0,003	0,004	0,3 - 2,0	54°28'55.26" N 18°12'47.31" E	otoczenie stacji bazowej - 50 m wzdłuż gł. osi promieniowania - GKP	0,058	0,058
19	0,7*	1,27	0,002	0,003	0,3 - 2,0	54°28'54.38" N 18°12'44.98" E	otoczenie stacji bazowej - 100 m wzdłuż gł. osi promieniowania - GKP	0,046	0,046

„Bez pisemnej zgody Laboratorium niniejsze sprawozdanie nie może być powielane inaczej, jak tylko w całości. Ponadto wyniki dotyczą tylko badanych obiektów przywołanych w niniejszym sprawozdaniu z badań”

Nr PP	Pole-E [V/m]	Pole-E+U [V/m]	Pole-H [A/m]	Pole-H+U [A/m]	Wysokość pomiaru [m]	Współrzędne PP x, y	Opis PP	WM _E	WM _H
20	1,1	1,75	0,003	0,005	0,3 - 2,0	54°28'57.22" N 18°12'47.58" E	otoczenie stacji bazowej - 50 m wzdłuż gł. osi promieniowania - GKP	0,064	0,063
21	0,7*	1,27	0,002	0,003	0,3 - 2,0	54°28'58.3" N 18°12'45.51" E	otoczenie stacji bazowej - 100 m wzdłuż gł. osi promieniowania - GKP	0,046	0,046
22	0,7*	1,27	0,002	0,003	0,3 - 2,0	54°28'57.76" N 18°12'54.45" E	otoczenie stacji bazowej - PKP	0,046	0,046
A	0,8	1,27	0,002	0,003	0,3 - 2,0	54°28'57.9" N 18°12'46.6" E	ul. Więźniów Sztutthofu 11, pomiar przy budynku - DPP	0,046	0,046
B	0,7*	1,27	0,002	0,003	0,3 - 2,0	54°28'57.9" N 18°12'47.6" E	ul. Więźniów Sztutthofu 18, pomiar przy budynku - DPP	0,046	0,046
C	0,9	1,43	0,002	0,004	0,3 - 2,0	54°28'56.8" N 18°12'50.0" E	ul. Więźniów Sztutthofu, pomiar przy budynku - DPP	0,052	0,052
D	0,7*	1,27	0,002	0,003	0,3 - 2,0	54°28'59.1" N 18°12'46.0" E	ul. Więźniów Sztutthofu 13, pomiar przy budynku - DPP	0,046	0,046
E	0,7*	1,27	0,002	0,003	0,3 - 2,0	54°28'50.6" N 18°12'38.9" E	ul. Łąkowa 3, pomiar przy budynku - DPP	0,046	0,046
F	0,7*	1,27	0,002	0,003	0,3 - 2,0	54°28'59.9" N 18°12'47.4" E	ul. Łąkowa 6, pomiar przy budynku - DPP	0,046	0,046
G	0,8	1,27	0,002	0,003	0,3 - 2,0	54°28'48.5" N 18°12'36.0" E	ul. Łąkowa 4, pomiar przy budynku - DPP	0,046	0,046
H	0,9	1,43	0,002	0,004	0,3 - 2,0	54°29'6.4" N 18°12'45.5" E	ul. ks. Chodzińskiego 91, pomiar przy budynku - DPP	0,052	0,052
I	1,0	1,59	0,003	0,004	0,3 - 2,0	54°29'7.4" N 18°12'45.7" E	ul. ks. Chodzińskiego 35, pomiar przy budynku - DPP	0,058	0,058
J	1,1	1,75	0,003	0,005	0,3 - 2,0	54°29'9.3" N 18°12'45.9" E	ul. ks. Chodzińskiego 28, pomiar przy budynku - DPP	0,064	0,063
K	1,2	1,91	0,003	0,005	0,3 - 2,0	54°29'9.9" N 18°12'45.2" E	ul. ks. Chodzińskiego 32, pomiar przy budynku - DPP	0,069	0,069
L	1,3	2,06	0,003	0,005	0,3 - 2,0	54°29'11.9" N 18°12'44.2" E	ul. ks. Chodzińskiego 46, pomiar przy budynku - DPP	0,075	0,075

Wynik pomiaru pole - E [V/m] - maksymalna wartość chwilowa zmierzona w danym pionie pomiarowym (uśredniona na podstawie punktu 11 załącznika do Rozporządzenia Ministra Klimatu z dnia 17 lutego 2020 r. w sprawie sposobów sprawdzania dotrzymania dopuszczalnych poziomów pól elektromagnetycznych w środowisku (Dz.U. 2020 poz. 258, Dz.U. 2022 poz. 1121)). Zgodnie z pkt. 7 załącznika do Rozporządzenia Ministra Klimatu z dnia 17 lutego 2020 r. w sprawie sposobów sprawdzania dotrzymania dopuszczalnych poziomów pól elektromagnetycznych w środowisku (Dz.U. 2020 poz. 258, Dz.U. 2022 poz. 1121) nie stosuje się poprawek pomiarowych.

Przyjęto najniższą dopuszczalną wartość składowej elektrycznej pola dla objętego pomiarami zakresu częstotliwości $\min(ME_{gr}) = 28 \text{ V/m}$ oraz składowej magnetycznej $\min(MH_{gr}) = 0,073 \text{ A/m}$.

* - wartość zmierzona poniżej zakresu akredytacji. Do obliczeń przyjęto wartość zgodną z dolną granicą akredytowanego zakresu pomiarowego metody.

GKP - główne kierunki pomiarowe

PKP - pomocnicze kierunki pomiarowe

DPP - dodatkowe punkty pomiarowe

PP - pion pomiarowy

U - niepewność pomiarowa rozszerzona, przy poziomie ufności 95%, z uwzględnieniem współczynnika rozszerzenia $k=2$

WM_E - wartość wskaźnikowa poziomu emisji pól elektromagnetycznych dla miejsc dostępnych dla ludności dla składowej elektrycznej pola

WM_H - wartość wskaźnikowa poziomu emisji pól elektromagnetycznych dla miejsc dostępnych dla ludności dla składowej magnetycznej pola

7. Stwierdzenie zgodności

Na podstawie wytycznych podanych w Rozporządzeniu Ministra Zdrowia z dnia 17 grudnia 2019 r. w sprawie dopuszczalnych poziomów pól elektromagnetycznych w środowisku (Dz.U. 2019 poz. 2448) oraz sposobów sprawdzania dotrzymania tych poziomów zgodnie z Rozporządzeniem Ministra Klimatu z dnia 17 lutego 2020 r. w sprawie sposobów sprawdzania dotrzymania dopuszczalnych poziomów pól elektromagnetycznych w środowisku (Dz.U. 2020 poz. 258) oraz Rozporządzeniem Ministra Klimatu i Środowiska z dnia 6 maja 2022 r. zmieniającego rozporządzenie w sprawie sposobów sprawdzania dotrzymania dopuszczalnych poziomów pól

„Bez pisemnej zgody Laboratorium niniejsze sprawozdanie nie może być powielane inaczej, jak tylko w całości. Ponadto wyniki dotyczą tylko badanych obiektów przywołanych w niniejszym sprawozdaniu z badań”

elektromagnetycznych w środowisku (Dz.U. 2022 poz. 1121), dotyczących źródła wymagań, które muszą być spełnione, w oparciu o zasadę podejmowania decyzji zgodną z pkt. 26 Rozporządzenia Ministra Klimatu z dnia 17 lutego 2020 r. (Dz.U. 2020 poz. 258), na podstawie wyników pomiarów pól elektromagnetycznych wykonanych w dniu 2023-04-13 stwierdzono, że wszystkie wyniki przeprowadzonych pomiarów w danym obszarze pomiarowym oraz wyznaczone na tej podstawie wskaźniki WME oraz WMH są mniejsze od wartości dopuszczalnych – zgodnie z przepisami wydanymi na podstawie art. 122 ust. 1 ustawy z dnia 27 kwietnia 2001 r. – Prawo ochrony środowiska – załącznikiem do Rozporządzenia Ministra Klimatu i Środowiska z dnia 17 lutego 2020 r. w sprawie sposobów sprawdzania dotrzymywania dopuszczalnych poziomów pól elektromagnetycznych w środowisku (Dz.U. 2020 poz. 258, pkt 26).

8. Oświadczenie.

Wyniki badania odnoszą się wyłącznie do badanego obiektu.

Bez pisemnej zgody sprawozdanie nie może być powielane inaczej, jak tylko w całości.

Uwagi i zastrzeżenia przyjmowane są w formie pisemnej.

9. Spis załączników.

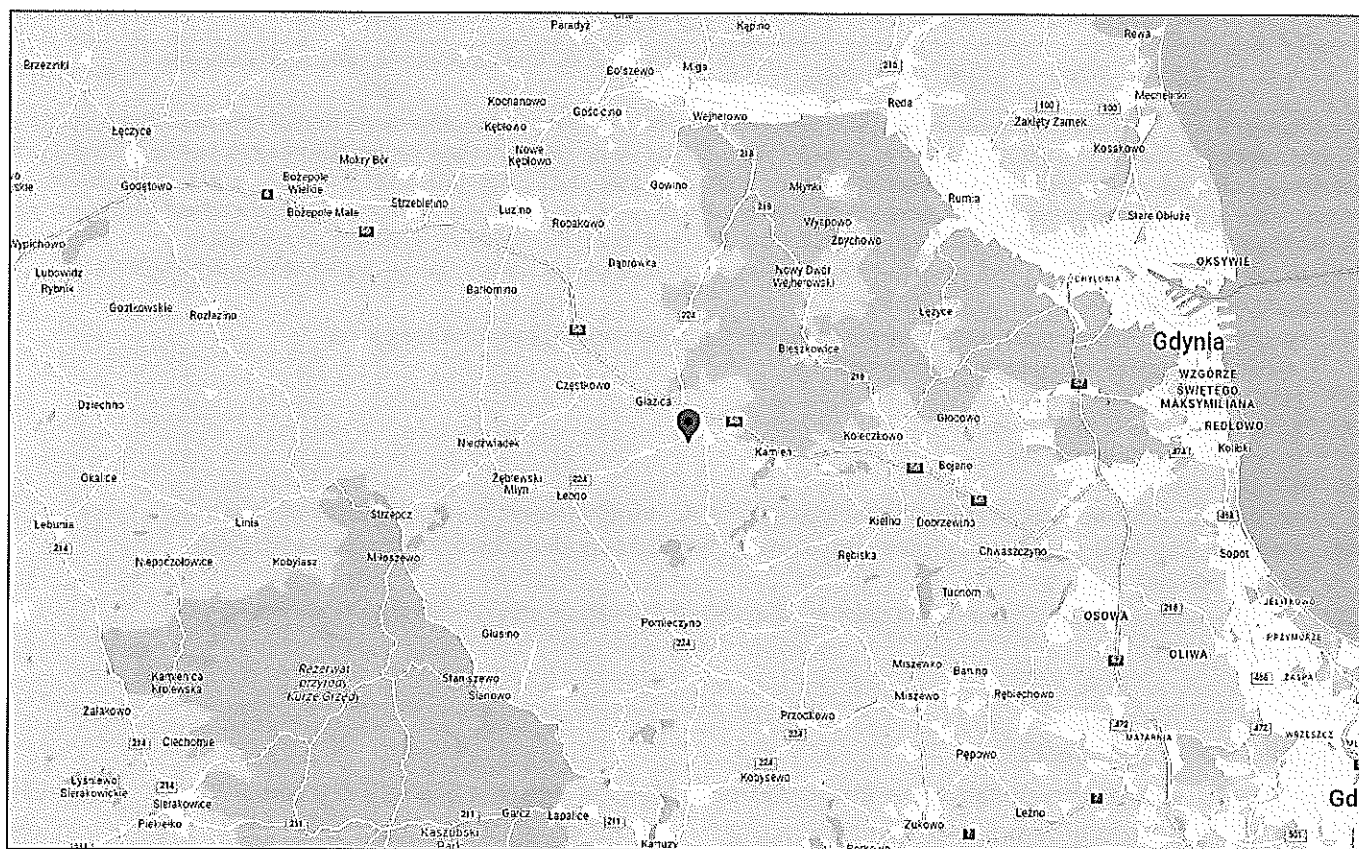
Zał. 1. Lokalizacja obiektu.

Zał. 2. Widok pionów pomiarowych

Zał. 3. Widok stacji bazowej

Koniec sprawozdania

Zał. 1. Lokalizacja obiektu

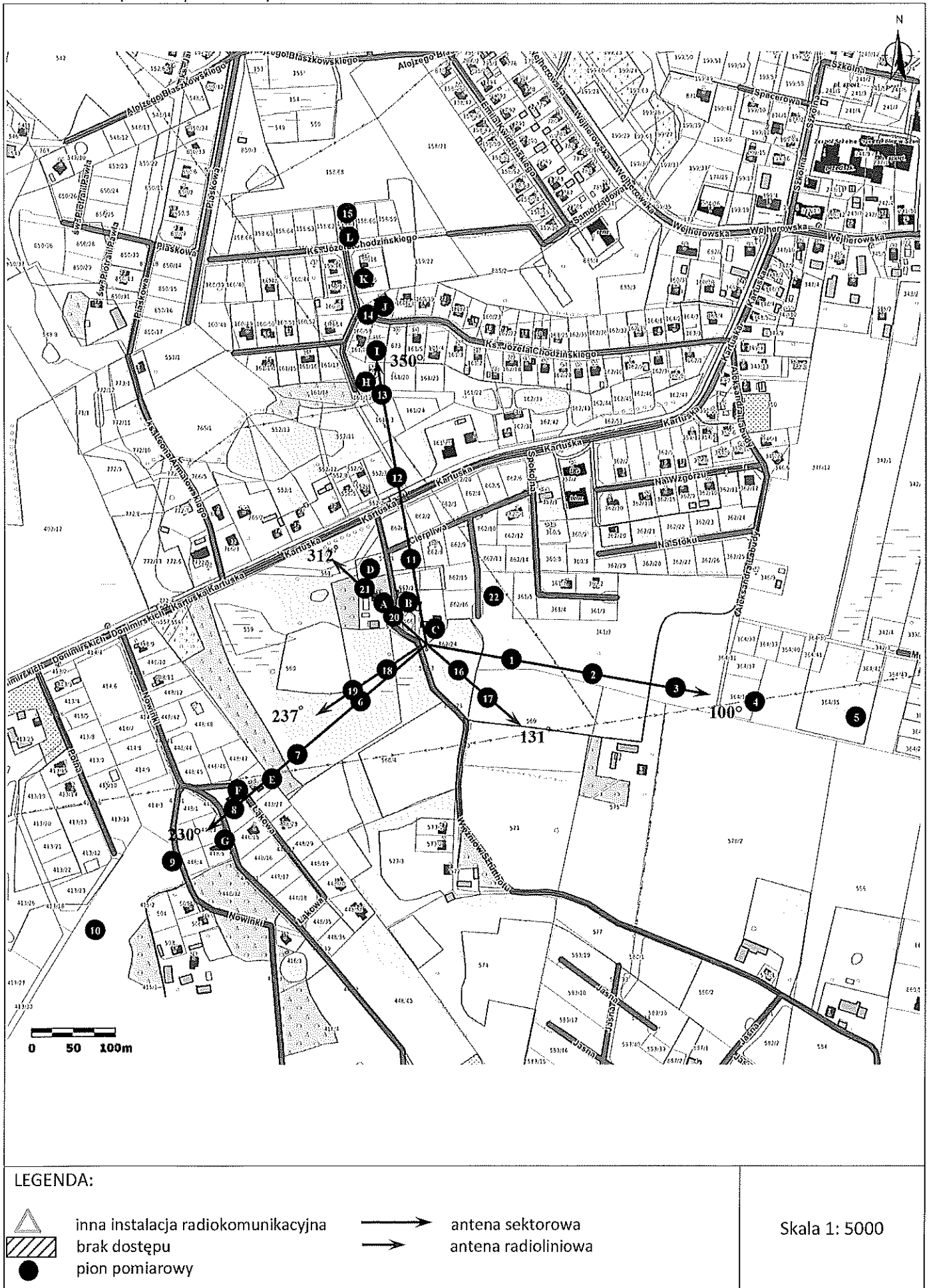


Współrzędne geograficzne	
szerokość:	54°28'55.80"N
długość:	18°12'50.40"E

„Bez pisemnej zgody Laboratorium niniejsze sprawozdanie nie może być powielane inaczej, jak tylko w całości. Ponadto wyniki dotyczą tylko badanych obiektów przywołanych w niniejszym sprawozdaniu z badań”

13/04/OŚ/2023-P4

Załącznik 2. Widok pionów pomiarowych



„Bez pisemnej zgody Laboratorium niniejsze sprawozdanie nie może być powielane inaczej, jak tylko w całości. Ponadto wyniki dotyczą tylko badanych obiektów przywołanych w niniejszym sprawozdaniu z badań”

Załącznik 3. Załączniki graficzne

